

**ВЛИЯНИЕ ДАВЛЕНИЯ И МАГНИТНОГО ПОЛЯ
НА ФАЗОВЫЙ ПЕРЕХОД В СОСТОЯНИЕ ТИПА
СПИНОВОГО СТЕКЛА В АМОРФНЫХ СПЛАВАХ**
(Tb_xLu_{1-x})₇Fe₉₃

© A.C.Андреенко, И.В.Золотухин, С.А.Никитин,
С.Ю.Семутников, Ю.В.Скурский

Московский государственный университет им. М.В. Ломоносова,
119899 Москва, Россия

(Поступила в Редакцию 3 июня 1996 г.)

Исследовано влияние гидростатического давления и магнитного поля на фазовый переход в состояние типа спинового стекла в системе аморфных сплавов Tb-Lu-Fe. Установлено, что гидростатическое давление приводит к понижению температуры фазового перехода. По мере увеличения давления максимум на кривой температурной зависимости магнитной восприимчивости, сопровождающий переход, сглаживается и при определенном давлении исчезает. Показано, что внешнее постоянное магнитное поле также приводит к исчезновению фазового перехода.

В аморфных сплавах редкоземельных металлов (РЗМ) с 3d-переходными металлами при понижении температуры наблюдается состояние типа спинового стекла (spin glass — SG), которое характеризуется резким увеличением коэрцитивной силы, появлением температурного гистерезиса намагниченности и максимумом на кривой температурной зависимости магнитной восприимчивости $\chi(T)$ [1]. Причиной возникновения состояния SG принято считать наличие конкурирующих обменных взаимодействий и случайной магнитной анизотропии в аморфных сплавах на основе РЗМ. В зависимости от соотношения между энергией случайной магнитной анизотропии и энергией обменных взаимодействий может существенным образом изменяться температура перехода в состояние SG [2]. Наиболее полно изучены сплавы, в которых либо обменные взаимодействия существенно превышают случайную магнитную анизотропию (слабо анизотропный предел), либо — наоборот (сильно анизотропный предел) [3,4].

В настоящей работе проведены исследования с целью изучения зависимости температуры перехода в SG от гидростатического давления и магнитного поля в системе аморфных сплавов (Tb_xLu_{1-x})₇Fe₉₃, ($x = 0 \div 1$). Выбор системы определялся из следующих соображений. Тербий является металлом с огромной магнитной анизотропией [5]. Замещение его паулиевским парамагнетиком — лютецием приводит к уменьшению магнитной анизотропии сплава, практически не влияя на

обменные взаимодействия, которые в основном определяются обменными интегралами внутри магнитной подсистемы железа. Концентрация железа выбрана с учетом того, что в магнитной подсистеме железа в аморфных и кристаллических соединениях РЗМ-Fe существуют конкурирующие обменные взаимодействия: за счет косвенного обмена через электроны проводимости, и вследствие перекрытия волновых функций ближайших соседей [6,7]. При больших концентрациях железа второй вклад существенно возрастает и становится сравнимым с первым. Поскольку оба вида обменных взаимодействий по разному зависят от межатомных расстояний [8], то наложение внешнего гидростатического давления должно приводить к перенормировке отношения между ферро- и антиферромагнитными обменными взаимодействиями, что должно проявиться в изменении температуры и характера фазового перехода в состояние SG.

1. Методики измерений и образцы

Основные исследования были проведены на установке для измерения магнитной восприимчивости χ при действии высокого гидростатического давления. Установка позволила проводить исследования χ в присутствии переменного поля до 5 Ое частотой 20–200 Hz и постоянного поля до 15 kOe при давлениях до 10^{10} dyn/cm² в области температур от 80 до 32 K. Подробное описание устройства данной установки можно найти в [9]. Измерения намагниченности в полях до 15 kOe и интервале температур 4.2–300 K проводились на вибрационном магнитометре.

Аморфные сплавы $(\text{Tb}_x\text{Lu}_{1-x})_7\text{Fe}_{93}$ ($x = 0.2, 0.4, 0.6, 0.8, 1.0$) были получены методом ионно-плазменного напыления на охлаждаемую жидким азотом алюминиевую фольгу и имели толщину 15 μm . Образцы были рентгеновски аморфными при комнатных температурах.

2. Экспериментальные результаты

Исследуемые сплавы, как показали измерения температурных и полевых зависимостей намагниченности, были магнитоупорядочены при температурах ниже комнатной. Измерения полевых зависимостей намагниченности подтверждают этот вывод. Для всех сплавов были проведены измерения намагниченности вплоть до температуры $T = 320$ K, и методом термодинамических коэффициентов [10] проведен расчет температурного хода спонтанной намагниченности. Значения температур Кюри сплавов находятся в пределах 330–360 K и возрастают с ростом содержания тербия.

На рис. 1 представлены температурные зависимости намагниченности сплава Lu₇Fe₉₃, измеренные в различных магнитных полях ниже температуры Кюри. Из рисунка видно, что при охлаждении намагниченность резко уменьшается при температурах ниже 50–90 K. Кривая температурной зависимости намагниченности $\sigma(T)$ имеет максимумы в области температур 40–80 K, которые смещаются в сторону низких температур при увеличении магнитного поля. Следует отметить, что все измерения намагниченности проводились в режиме предварительного охлаждения образца в нулевом магнитном поле с последующим отогревом в поле измерения. Из рис. 1 видно, что кривые намагниченности имеют вид, достаточно типичный для редкоземельных аморфных

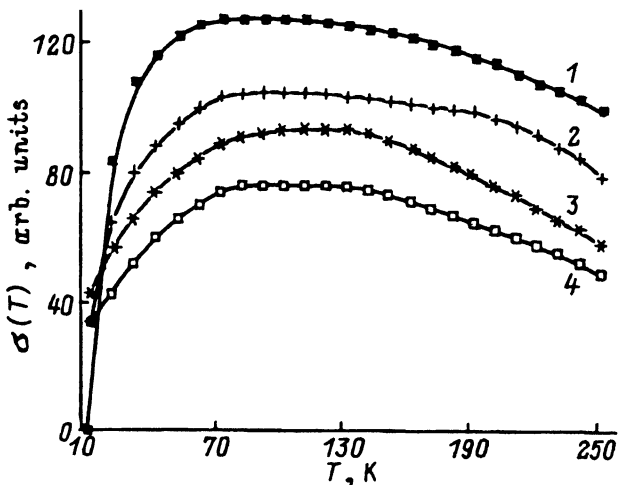


Рис. 1. Зависимость намагниченности σ от температуры для аморфного сплава $\text{Lu}_7\text{Fe}_{93}$.

H (kOe): 1 — 15, 2 — 11, 3 — 5, 4 — 1.

сплавов [11]. Характер максимумов на кривых и резкое уменьшение намагниченности при низких температурах свидетельствуют о наличии перехода в состояния SG.

На рис. 2 представлены температурные зависимости магнитной восприимчивости при атмосферном давлении для двух сплавов исследуемой системы, измеренные при одинаковой скорости нагрева образцов (2 K/min). Из рисунка видно, что с увеличением содержания тербия максимумы $\chi(T)$, соответствующие переходу в состояние SG смещаются в сторону более высоких температур и становятся более резкими.

Измерения влияния гидростатического давления на магнитную восприимчивость сплавов (рис. 3) показали, что при увеличении давления максимумы на кривых $\chi(T)$ смещаются в сторону более низких температур и становятся менее отчетливыми. Более того, обнаружены критические давления (для сплава $(\text{Lu}_{0.8}\text{Tb}_{0.2})_7\text{Fe}_{93}$ $P_{\text{cr}} \approx 9 \cdot 10^9 \text{ dyn/cm}^2$, для сплава $\text{Lu}_7\text{Fe}_{93}$ — $P_{\text{cr}} \approx 6 \cdot 10^9 \text{ dyn/cm}^2$), при которых максимумы

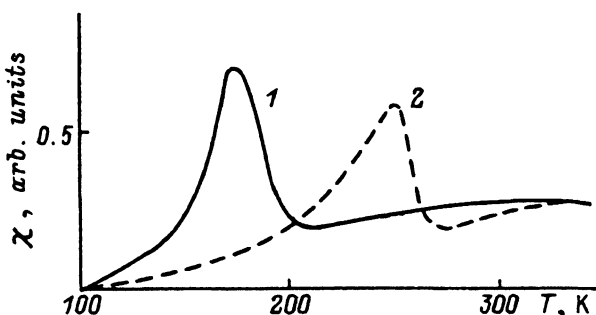


Рис. 2. Зависимости начальной восприимчивости от температуры.
1 — $(\text{Lu}_{0.8}\text{Tb}_{0.2})_7\text{Fe}_{93}$, 2 — $(\text{Lu}_{0.2}\text{Tb}_{0.8})_7\text{Fe}_{93}$.

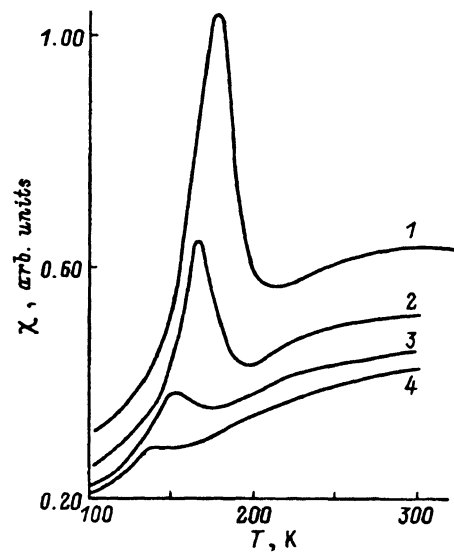


Рис. 3. Температурная зависимость магнитной восприимчивости для различных величин гидростатического давления аморфного сплава $(\text{Lu}_{0.8}\text{Tb}_{0.2})_7\text{Fe}_{93}$.

$P (10^9 \text{ dyn/cm}^2)$: 1 — 1, 2 — 3, 3 — 6, 4 — 6, 5 — 9.

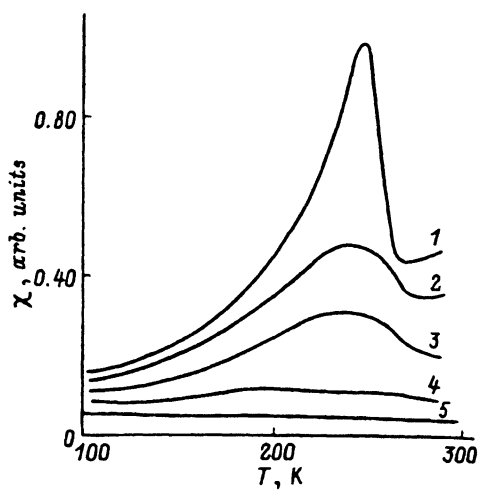


Рис. 4. Температурная зависимость магнитной восприимчивости для различных значений внешнего постоянного магнитного поля для сплава $(\text{Lu}_{0.2}\text{Tb}_{0.8})_7\text{Fe}_{93}$.

$H (\text{Oe})$: 1 — 0, 2 — 20, 3 — 50, 4 — 200, 5 — 2000.

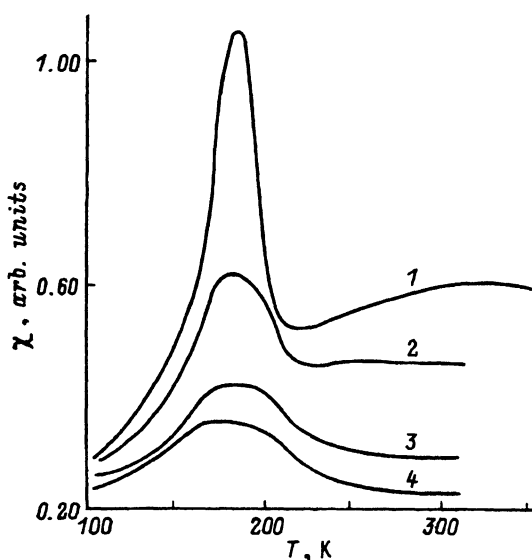


Рис. 5. Температурная зависимость магнитной восприимчивости для различных значений внешнего магнитного поля для сплава $(\text{Lu}_{0.8}\text{Tb}_{0.2})_7\text{Fe}_{93}$.

$H (\text{Oe})$: 1 — 0, 2 — 25, 3 — 50, 4 — 75.

исчезают. Для сплава $(\text{Lu}_{0.2}\text{Tb}_{0.8})_7\text{Fe}_{93}$ P_{cr} больше, чем используемые в эксперименте давления, однако общая тенденция к подавлению фазового перехода сохраняется и в этом образце. Таким образом, можно заключить, что увеличение давления приводит к уменьшению температуры перехода в состояние SG, его постепенному «размытию» и последующему исчезновению. С увеличением тербия критические давления, при которых исчезает пик на кривой температурной зависимости магнитной восприимчивости, увеличиваются.

На рис. 4 и рис. 5 представлены температурные зависимости магнитной восприимчивости для сплавов $(\text{Lu}_{0.2}\text{Tb}_{0.8})_7\text{Fe}_{93}$ и $(\text{Lu}_{0.8}\text{Tb}_{0.2})_7\text{Fe}_{93}$ измеренные в присутствии постоянного подмагничивающего поля. Измерения проводились при той же скорости температурного сканирования. Из рисунков видно, что внешнее поле также приводит к подавлению перехода в состояние SG, причем при большем содержании тербия для этого требуется более значительная величина магнитного поля.

3. Обсуждение результатов

При обсуждении экспериментальных результатов рассмотрим три взаимодействия, которые, как указывалось выше, оказывают влияние на фазовый переход в состояние спинового стекла: случайную магнитную анизотропию, изменение которой в сплавах достигается замещением лютеция на сильноанизотропные ионы тербия, обменные взаимодействия, изменение которых обеспечивается внешним гидростатическим давлением, и магнитное поле.

Как уже отмечалось выше, переход в состояние SG вызывается наличием конкурирующих обменных взаимодействий и случайной магнитной анизотропии. Как видно из экспериментальных данных (см. рис. 2), увеличение энергии магнитной анизотропии (рост содержания тербия) приводит к росту температуры перехода в состояние SG, т. е. стабилизирует это состояние.

Механизм воздействия локальных магнитокристаллических полей или случайной магнитной анизотропии на фазовый переход SG можно представить следующим образом. При охлаждении ниже температуры Кюри в аморфных сплавах РЗМ — 3d-переходный металл устанавливается сперимагнитная структура, в которой магнитные моменты 3d-подсистемы располагаются коллинеарно или почти коллинеарно, а магнитные моменты РЗМ вследствие случайной магнитной анизотропии заполняют полусферу, причем средний магнитный момент редкоземельной подсистемы направлен антипараллельно среднему моменту 3d-подсистемы. С понижением температуры константа одноионной магнитной анизотропии увеличивается, угол раствора конуса, образуемого магнитными моментами f-ионов, увеличивается и разупорядочение возрастает как в f-, так и в d-подсистеме. При увеличении числа ионов Tb разупорядочивающее воздействие f-подсистемы на общий магнитный порядок в сплаве возрастает и переход в состояние SG происходит при более высокой температуре.

Нами установлено, что в данных сплавах наблюдаются рекордно большие температуры перехода в состояние SG (в сплаве TbSi^[12] температура $T_{\text{SG}} \approx 183$ К. В других SG эти температуры не превышают 60–100 К).

Влияние давления на температуру перехода в состояние SG в редкоземельных аморфных сплавах богатых железом было обнаружено в работе [7]. Однако обнаруженное в этой работе уменьшение температуры перехода с давлением в состояние SG не обсуждалось. Если принять за основу предложенную в них модель, то можно предположить, что увеличение антиферромагнитного обмена внутри подсистемы железа в результате действия давления должно сопровождаться увеличением температуры перехода в состояние SG вследствие наличия конкурирующих ферро- и антиферромагнитных обменных взаимодействий.

Следовательно, необходимо принимать во внимание другие механизмы. Известно [9], что константы магнитной анизотропии редких земель уменьшаются при действии давления. Поэтому естественно предположить, что локальная магнитная анизотропия ионов тербия также уменьшается при действии давления в сплавах Tb–Lu–Fe. В результате дезориентирующее действие локальной магнитной анизотропии должно проявляться при более низкой температуре. Влияние давления на случайную анизотропию, по-видимому, также незначительно оказывается на переходе в состояние SG, поскольку эффект понижения температуры перехода с давлением наблюдается и в сплаве Lu–Fe где, ввиду отсутствия редкоземельных ионов, ее значения малы.

Из рис. 3 и рис. 4 видно, что при достижении критической величины внешнего давления пик магнитной восприимчивости χ , соответствующий переходу в состояние SG, исчезает. Это означает, что межатомные расстояния играют определяющую роль в установлении того или иного вида магнитной структуры в аморфных сплавах.

Как следует из рис. 5 наложение внешнего магнитного поля приводит к «размытию» и исчезновению пика на кривой температурной зависимости магнитной восприимчивости. Этот эффект достаточно очевиден, поскольку внешнее магнитное поле всегда приводит к упорядочению магнитной структуры аморфных сплавов РЗМ–железо и, следовательно, приводит к разрушению состояния SG. То, что исчезновение пика на кривой $\chi(T)$ происходит в больших полях в сплавах, содержащих Tb, свидетельствует о правильности нашего предположения, что наличие магнитной анизотропии стабилизирует состояние SG, т. е. чем выше магнитная анизотропия тем выше T_{SG} .

Таким образом, проведенные нами исследования показали, что в сплавах $(\text{Tb}, \text{Lu})_7\text{Fe}_{93}$ наблюдаются рекордно высокие температуры перехода в состояние SG ($T_{SG} \approx 250$ К). Установлено, что случайная магнитная анизотропия стабилизирует состояние SG в аморфных сплавах Tb–Lu–Fe, что проявляется в возрастании T_{SG} при увеличении концентрации ионов тербия. При действии давления T_{SG} понижается вследствие уменьшения констант локальной случайной магнитной анизотропии. Анализ экспериментальных результатов показал, что фазовый переход SG подавляется при действии как давления, так и магнитного поля. Наблюдаются критические значения магнитных полей и давлений, в которых данный переход исчезает.

Работа выполнена при финансовой поддержке гранта № 94-02-04-656 и гранта МИ2300 от Международного научного фонда и Российского правительства.

Список литературы

- [1] A.P. Murani. J. Magn. Magn. Mater. **5**, 1, 95 (1977).
- [2] S.K. Chatak. Solid State Commun. **58**, 7, 461 (1986).
- [3] E.M. Chudnovsky, W.M. Saslow, R.A. Serota. Phys. Rev. **B33**, 251 (1986).
- [4] M.J. Shea, K.M. Lee, A. Fert. J. Appl. Phys. **67**, 9, 5769 (1990).
- [5] К. Тейлор, М. Дарби. Физика редкоземельных соединений. Мир. М. (1974). С. 373.
- [6] S. Ishido, M. Takahashi, U. Gonser. Proc. Int. Symp. Phys. Magnet. Mater. (ISPMM-87). Sendai (1987). Р. 399.
- [7] A.S. Andreenko, S.A. Nikitin, Yu.I. Spichkin. J. Magn. Magn. Mater. **118**, 142 (1993).
- [8] А.С. Андреенко, С.А. Никитин, Ю.И. Спичкин. Вестн. МГУ. Сер. 3, Физика, астрономия **34**, 55 (1993).
- [9] Ю.И. Спичкин. Канд. дис. МГУ. М. (1993). С. 158.
- [10] К.П. Белов. Магнитные превращения. Физматгиз. М. (1959). С. 259.
- [11] А.С. Андреенко, А.К. Звездин, С.А. Никитин, Г.В. Сайко, С.Н. Уточкин, Д.Ю. Чешля. ЖЭТФ **72**, 2, 524 (1991).
- [12] J.J. Hauser. Phys. Rev. **B34**, 5, 3212 (1986).